

# Automatyka Pojazdowa: Przekształcanie układów współrzędnych

Kamil Lelowicz

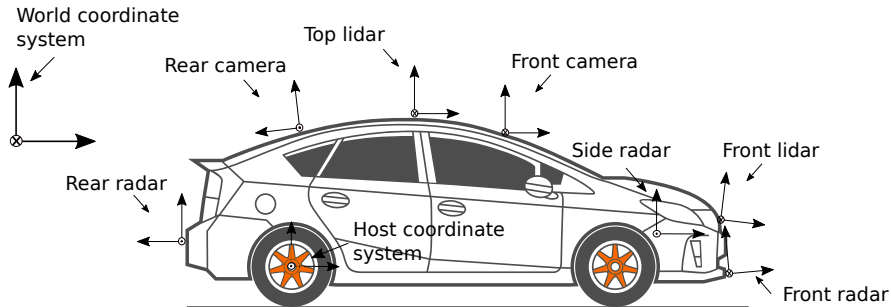
1 marca 2020

# Agenda



- 1 Motywacja: Advanced driver-assistance systems
- 2 Transformacja układu współrzędnych-wstęp
- 3 Macierz rotacji
- 4 Kąty Eulera
- 5 Macierz transformacji
- 6 Model kamery
- 7 Kwateriony

# Mnogość układów współrzędnych



Rysunek: Mnogość układów współrzędnych występujących we współczesnych samochodach.

# Układy współrzędnych



## Sensory

- Kamera - płaszczyzna kamery
- Lidar - układ współrzędnych sferycznych
- Radar - układ współrzędnych sferycznych

# Wymagania



## Zastosowania

- Fuzja danych z czujników (low level fusion, high level fusion)
- Komunikacja V2V
- Komunikacja V2x

# Transformacja układu współrzędnych



## Definicja

Transformacja współrzędnych - zadanie obliczeniowe polegające na przeliczeniu współrzędnych pomiędzy układ współrzędnych.

## Transformacja układów kartezjańskich

W naszym przypadku będziemy się zajmować transformacją współrzędnych z jednego układu kartezjańskiego w drugi. Jest to operacja afiniczna i można ją podzielić na dwa etapy:

- rotacja
- translacja

# Zapis matematyczny



## Transformacja współrzędnych

$$p', p, t \in \mathbb{R}^3, \quad R \in \mathbb{R}^{3 \times 3}$$
$$p' = Rp + t$$

gdzie:

- $p$  - przekształcany punkt.
- $p'$  - przekształcony punkt.

# Operacja translacji



## Translacja

$$\begin{aligned}p', p, t &\in \mathbb{R}^n \\ p' &= p + t\end{aligned}$$



# Rotacja



Definicja Eulera'a (Decouverte d'un nouveau principe de mecanique, 1753)

Niech  $Q, Q' \in \mathbb{R}^3$  wtedy istnieje oś  $d \in \mathbb{R}^3$  i kąt rotacji  $\alpha \in (-\pi, \pi)$  taki, że gdy obrócimy się o kąt  $\alpha$  względem osi  $u$  z  $Q$  otrzymamy  $Q'$ .

# Reprezentacje obrotów



## Sposoby reprezentacji obrotów

- Macierz rotacji
- Kąty Eulera
- Kwanterniony

# Niejednoznaczność



## Niejednoznaczność w definiowaniu rotacji

- Rotujemy punkty?
- Rotujemy układ współrzędnych?

# Macierz rotacji



## Właściwości

- reprezentują automorfizm (endomorfizm i izomorfizm )
- zachowują długości
- zachowuje kąty
- zostawia przynajmniej jeden punkt nie zmieniony
- pozostawia skrętność układu nie zmienioną

# Grupa $SO(3)$



## Właściwości grupy

- $R^{-1} = R^T$
- $\det(R) = 1$
- Wartości własne:
  - $\{1, 1, 1\}$
  - $\{1, -1, -1\}$
  - $\{1, e^{i\theta}, e^{-i\theta}\}$

## Składanie przekształceń

$$R_3 = R_2 R_1$$

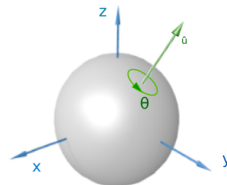
Najpierw wykonamy rotację  $R_1$ , następnie  $R_2$ . Czyli do prawej do lewej.

# Związek macierzy rotacji z definicją Eulera



$$\mathbf{u} = (u_x, u_y, u_z)^T \in \mathbb{R}^3, \quad \|\mathbf{u}\| = 1$$

$$R = \mathbf{u}\mathbf{u}^T(1 - \cos\theta) + I\cos\theta + \begin{bmatrix} 0 & -u_z & u_y \\ u_z & 0 & -u_x \\ -u_y & u_x & 0 \end{bmatrix} \sin\theta$$



Rysunek: Definicja Eulera

# Metryka



## Funkcja dystansu

$$d_1 : SO(3) \times SO(3) \rightarrow \mathbb{R}^+ \cup \{0\}$$
$$d_1(R_1, R_2) = \|I - R_1^T R_2\|_F$$

$\|\cdot\|_F$  - norm Frobeniusa

# Macierz Rotacji



## Normalizacja

Wymaga algorytmu SVD. (Orthogonal Procrustes problem)

$$\begin{aligned} R &= \arg \min_{\Omega} \|\Omega - M\|_F \quad \Omega^T \Omega = I \\ M &= U \Sigma V^T \\ R &= UV^T \end{aligned}$$



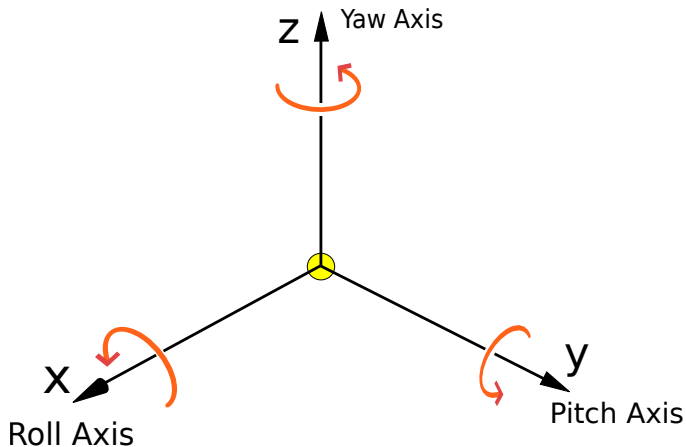
# Kąty Eulera (Kąty Tait–Bryana)



## Definicja

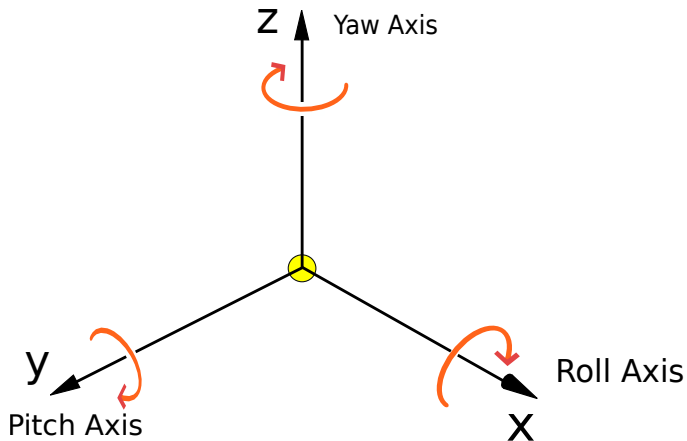
Zbiór trzech kątów, który określa wzajemną orientację dwóch kartezjańskich układów współrzędnych o takiej samej skrętności w trójwymiarowej przestrzeni.

# Oznaczenia kątów, układ prawoskrętny



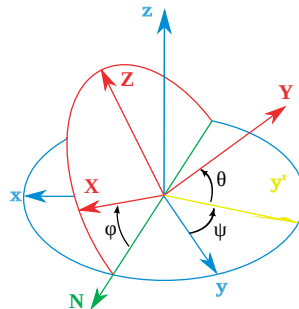
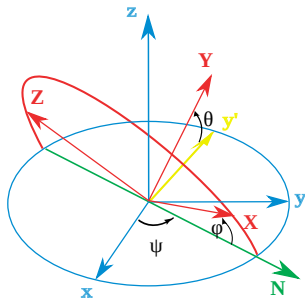
Rysunek: Układ prawoskrętny, oznaczenia osi.

# Oznaczenia kątów, układ lewoskrętny



Rysunek: Układ lewoskrętny, oznaczenia osi.

# Kąty Tait–Bryana



Rysunek: Kąty Tait–Bryana. Autor: Lionel Brits

# Macierze rotacji dla układu prawoskrętnego.



$$R_x = \begin{bmatrix} 1 & 0 & 0 \\ 0 & \cos \theta & -\sin \theta \\ 0 & \sin \theta & \cos \theta \end{bmatrix}$$

$$R_y = \begin{bmatrix} \cos \gamma & 0 & \sin \gamma \\ 0 & 1 & 0 \\ -\sin \gamma & 0 & \cos \gamma \end{bmatrix}$$

$$R_z = \begin{bmatrix} \cos \psi & -\sin \psi & 0 \\ \sin \psi & \cos \psi & 0 \\ 0 & 0 & 1 \end{bmatrix}$$

W przypadku układu lewoskrętnego bierzemy transpozycję przedstawionych macierzy.

# Możliwe kombinacje



Kombinacja	
$R_z R_y R_x$	roll-pitch-yaw
$R_x R_y R_z$	yaw-pitch-roll
$R_y R_z R_x$	roll-yaw-pitch
$R_y R_x R_z$	yaw-roll-pitch
$R_z R_x R_y$	pitch-roll-yaw
$R_x R_z R_y$	pitch-yaw-roll

Dodatkowo każda macierz rotacji może być transponowana oznaczając rotację w przeciwnym kierunku.

# Metryka



## Funkcja dystansu

Niech  $(\alpha_1, \beta_1, \gamma_1)$  and  $(\alpha_2, \beta_2, \gamma_2)$  będą kątami Tait–Bryana.

$$d_2 : E \times E \rightarrow \mathbb{R}^+ \cup \{0\}$$

$$d_2((\alpha_1, \beta_1, \gamma_1), (\alpha_2, \beta_2, \gamma_2)) = \sqrt{d(\alpha_1, \alpha_2)^2 + d(\beta_1, \beta_2)^2 + d(\gamma_1, \gamma_2)^2}$$

gdzie  $d(x, y) = \min\{|a - b|, 2\pi - |a - b|\}$  i  $E \in \mathbb{R}^3$ . **Metryka ta nie jest "bi-invariant".**

# Macierz transformacji



## Macierz transformacji

$$R \in \mathbb{R}^{3 \times 3}, \quad t \in \mathbb{R}^3$$
$$T = \begin{bmatrix} R & t \\ 0 & 1 \end{bmatrix}$$
$$I = \begin{bmatrix} R & t \\ 0 & 1 \end{bmatrix}^{-1} \begin{bmatrix} R & t \\ 0 & 1 \end{bmatrix}$$

$R$  - macierz rotacji,  $t$  - wektor translacji,  $I$  - macierz jednostkowa.



# Przekształcenie



## Przekształcenie za pomocą macierzy transformacji

$$p = (x, y, z, 1)^T$$
$$p' = Tp$$

# Odwrotność



## Odwrotność macierzy transformacji

$$T^{-1} = \begin{bmatrix} R^T & -R^T t \\ 0 & 1 \end{bmatrix}$$

# Składanie przekształceń

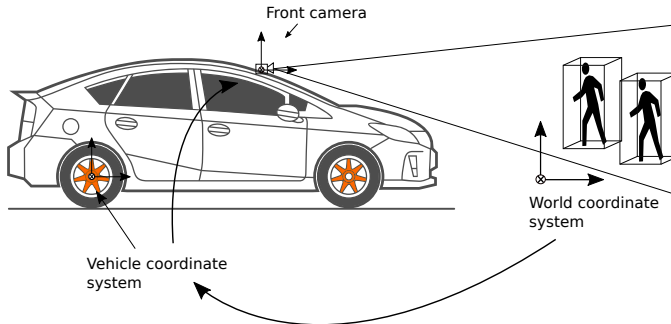


## Składanie przekształceń

$$T_3 = T_2 T_1$$

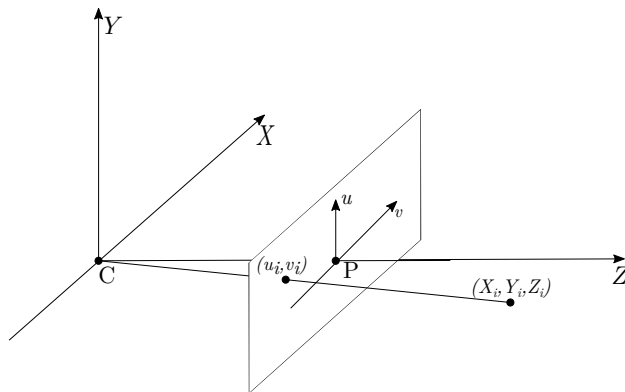
Najpierw wykonamy przekształcenie  $T_1$ , następnie  $T_2$ . Czyli do prawej do lewej.

# Składanie przekształceń



Rysunek: Transformacja układu współrzędnych

# Rzutowanie punktów na płaszczyznę kamery.



Rysunek: Pinhole model

# Rzutowanie punktów na płaszczyznę kamery.



## Równanie

Kamera może być rozpatrywana jako funkcja która opisuje relację między trzy-wymiarową przestrzenią a jej rzutem na dwu-wymiarową płaszczyznę obrazu.

$$\begin{bmatrix} u \\ v \\ 1 \end{bmatrix} = m \begin{bmatrix} f_1 & s & v_0 \\ 0 & f_2 & u_0 \\ 0 & 0 & 1 \end{bmatrix} \begin{bmatrix} r_{11} & r_{12} & r_{13} & x \\ r_{21} & r_{22} & r_{23} & y \\ r_{31} & r_{32} & r_{33} & z \end{bmatrix} \begin{bmatrix} X \\ Y \\ Z \\ 1 \end{bmatrix}$$

Parametry intrinsic:

$f$  - ogniskowa,  $s$ -skośność,  $(v_0, u_0)$  - położenia środka obrazu

Parametry extrinsic:

$r_i$ - rotacja,  $(x, y, z)$  - translacja

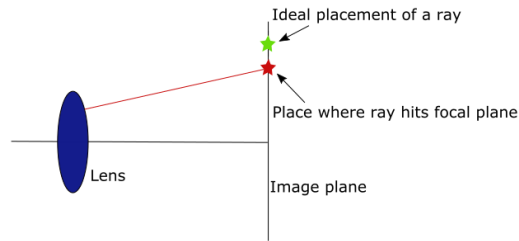
# Rodzaje dystorsji



## Dystorsja radialna

Dystorsja soczewki jest formą optycznej aberracji. Powodują że między innymi że proste linie na obrazie kamery stają się wygięte. Wyróżnia się trzy rodzaje dystorsji

- Barrel distortion
- Pincushion distortion
- Moustache distortion



Rysunek: Przykład barrel distortion

# Radialny model dystorsji



## Opis równań

$(u_d, v_d)$  and  $(u_u, v_u)$  odpowiadające sobie punkty po i przed dystorsją.  $(u_0^d, v_0^d)$  środek dystorsji.  $r_d$  dystans od środka dystorsji do zniekształconego punktu.

$$r_d^2 = (u_d - u_0^d)^2 + (v_d - v_0^d)^2$$

## Division model

$$u_u = \frac{u_d - u_0^d}{1 + k_1 r_d^2 + k_2 r_d^4 + k_3 r_d^6 + \dots + k_n r_d^{2n}}$$

$$v_u = \frac{v_d - v_0^d}{1 + k_1 r_d^2 + k_2 r_d^4 + k_3 r_d^6 + \dots + k_n r_d^{2n}}$$



# CARLA-wizualizacja



(Example video)

# Kwaterniony



## Reprezentacja kwaternionów

Kwaterniony można przedstawić w następującej formie:

$$p = a + bi + cj + dk = a + \mathbf{v} \quad p \in \mathcal{H} \quad (1)$$

gdzie  $a, b, c, d$  są liczbami rzeczywistymi oraz  $i, j, k$  podstawowymi jednostkami kwaternionów.

## Definition

Kwaterniony Hamiltona tworzą pierścień z dzieleniem i jedyneką.

# Rotacja



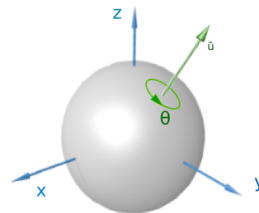
## Wykorzystanie kwaternionu jako rotacji

Rotacja o kąt  $\theta$  wokół osi zdefiniowanej wokół wektora jednostkowego:

$$\mathbf{u} = u_x \mathbf{i} + u_y \mathbf{j} + u_z \mathbf{k}$$

Może być wyrażona w następujący sposób:

$$\cos \frac{\theta}{2} + (u_x \mathbf{i} + u_y \mathbf{j} + u_z \mathbf{k}) \sin \frac{\theta}{2}$$



Rysunek: Rotacja Euler'a.

# Macierz rotacji dla kwaternionu



## Macierz rotacji [qu\_book]

Rotacja kwaternionowa  $p' = qpq^{-1}$  (z  $q = q_0 + q_i\mathbf{i} + q_j\mathbf{j} + q_k\mathbf{k}$ ) może być przedstawiona w postaci  $p' = Rp$  gdzie  $R$  jest następującą macierzą rotacji:

$$R = \begin{bmatrix} 1 - 2s(q_i^2 + q_k^2) & 2s(q_iq_j + q_kq_0) & 2s(q_iq_k + q_jq_0) \\ 2s(q_iq_j + q_kq_0) & 1 - 2s(q_i^2 + q_k^2) & 2s(q_jq_k + q_iq_0) \\ 2s(q_iq_k + q_jq_0) & 2s(q_jq_k + q_iq_0) & 1 - 2s(q_i^2 + q_j^2) \end{bmatrix}$$

Gdzie  $s = \|q\|^{-2}$ , jeśli  $q$  jest kwaternionem jednostkowym  $s = 1$

# Dodawanie



## Przykład

Niech:

$$p_1 = a_1 + b_1\mathbf{i} + c_1\mathbf{j} + d_1\mathbf{k}$$

$$p_2 = a_2 + b_2\mathbf{i} + c_2\mathbf{j} + d_2\mathbf{k}$$

Wtedy:

$$p_3 = p_1 + p_2 = (a_1 + a_2) + (b_1 + b_2)\mathbf{i} + (c_1 + c_2)\mathbf{j} + (d_1 + d_2)\mathbf{k}$$

Element naturalny:  $e = 0$

Element przeciwny do  $p_1$ :

$$\tilde{p}_1 = -a_1 - b_1\mathbf{i} - c_1\mathbf{j} - d_1\mathbf{k}$$

## Mnożenie



## Założenia

$$i^2 = j^2 = k^2 = -1$$

i

$$ij = k, \quad ji = -k$$

$$jk = i, \quad kj = -i$$

$$ki = j, \quad ik = -j$$

## Tabela mnożeń

·	1	i	j	k
1	1	i	j	k
i	i	-1	k	-j
j	j	-k	-1	i
k	k	j	-i	-1

## Mnożenie



## Przykład

Niech:

$$p_1 = a_1 + b_1\mathbf{i} + c_1\mathbf{j} + d_1\mathbf{k} \quad p_2 = a_2 + b_2\mathbf{i} + c_2\mathbf{j} + d_2\mathbf{k}$$

Wtedy:

$$\begin{aligned} p_3 = p_1 \cdot p_2 &= a_1a_2 + a_1b_2\mathbf{i} + a_1c_2\mathbf{j} + a_1d_2\mathbf{k} + b_1a_2\mathbf{i} + b_1b_2\mathbf{i}^2 + b_1c_2\mathbf{ij} + b_1d_2\mathbf{ik} \\ &\quad + c_1a_2\mathbf{j} + c_1b_2\mathbf{ji} + c_1c_2\mathbf{j}^2 + c_1d_2\mathbf{jk} + d_1a_2\mathbf{k} + d_1b_2\mathbf{ki} + d_1c_2\mathbf{kj} + d_1d_2\mathbf{k}^2 \\ &= a_1a_2 - b_1b_2 - c_1c_2 - d_1d_2 + (a_1b_2 + b_1a_2 + c_1d_2 - d_1c_2)\mathbf{i} \\ &\quad + (a_1c_2 - b_1d_2 + c_1a_2 + d_1b_2)\mathbf{j} + (a_1d_2 + b_1c_2 - c_1b_2 + d_1a_2)\mathbf{k} \end{aligned}$$

# Sprzężenie



## Definicja

Niech:

$$p = a + bi + cj + dk$$

Wtedy sprzężenie  $p$  wynosi:

$$p^* = a - bi - cj - dk$$

Lub w innej postaci:

$$p^* = -\frac{1}{2}(p + ipi + jpj + kpk)$$



# Sprzężenie



## Właściwości

Sprzężenie mnożenia:

$$(pq)^* = q^* p^*$$

Cześć rzeczywista:

$$\frac{p + p^*}{2}$$

Cześć urojona:

$$\frac{p - p^*}{2}$$

## Norma



## Definicja

$$\|p\| = \sqrt{p^* p} = \sqrt{a^2 + b^2 + c^2 + d^2}$$

# Kwaternion jednostkowy



Wersor

Kwaternion o normie równej jeden.

$$\hat{q} = \frac{q}{\|q\|}$$

Dekompozycja do formy polarnej:

$$q = \|q\| \hat{q}$$

Mnożenie:

$$pq = \|p\| \hat{p} \|q\| \hat{q} = \|p\| \|q\| \hat{p} \hat{q}$$

# Odwrotność



## Odwrotność $q$

$$q^{-1} = \frac{a - bi - cj - dk}{a^2 + b^2 + c^2 + d^2}$$

Dowód:

$$q^* q = \|q\|^2$$

$$\frac{q^* q}{\|q\|^2} = 1$$

$$q^{-1} = \frac{q^*}{\|q\|^2} = \frac{a - bi - cj - dk}{a^2 + b^2 + c^2 + d^2}$$

## Eksponenta

Niech:

$$p = a + bi + cj + dk = a + \mathbf{v}$$

Wtedy:

$$e^p = \sum_{n=0}^{\infty} \frac{p^n}{n!} = e^a \left( \cos \|\mathbf{v}\| + \frac{\mathbf{v}}{\|\mathbf{v}\|} \sin \|\mathbf{v}\| \right)$$

Dodatkowo:

$$\|e^{\mathbf{v}}\| = \left\| \left( \cos \|\mathbf{v}\| + \frac{\mathbf{v}}{\|\mathbf{v}\|} \sin \|\mathbf{v}\| \right) \right\| = 1$$

## Dekompozycja

$$p = a + \mathbf{v} = \|p\|\hat{p} = \|p\|e^{\hat{v}\theta}$$

gdzie:

- rotacja:  $\theta = \arccos \frac{a}{\|p\|}$
- kierunek:  $\hat{v} = \frac{\mathbf{v}}{\|\mathbf{v}\|}$

# Potęga



## Potęga

Potęg kwaternionu jest zdefiniowana w następujący sposób:

$$p^{\alpha} = \|p\|^{\alpha} e^{\hat{v}\alpha\theta} = \|p\|^{\alpha} (\cos \alpha\theta + \hat{v} \sin \alpha\theta)$$

# Rotacja kwaternion



## Definicja

Rotacja reprezentowana przez **kwaternion jednostkowy**  $q$  może być wykonana dla wektora  $r = r_x\mathbf{i} + r_y\mathbf{j} + r_z\mathbf{k}$  w 3 wymiarowej przestrzeni, przyjmując że jest to kwaternion z częścią rzeczywistą równą zero, poprzez wyliczenia sprzężenia  $r$  przez  $q$ :

$$r' = qrq^{-1}$$



# Rotacja



## Przeciwna rotacja

$$\begin{aligned} q &= e^{-\frac{\theta}{2}(u_x \mathbf{i} + u_y \mathbf{j} + u_z \mathbf{k})} \\ &= \cos \frac{\theta}{2} - (u_x \mathbf{i} + u_y \mathbf{j} + u_z \mathbf{k}) \sin \frac{\theta}{2} \end{aligned}$$

# Rotacja



## Łączenie rotacji

Dwie lub więcej rotacji może zostać połączona w jedną:

$$q = q_1 q_2$$

Dowód:

$$q_1 q_2 r (q_1 q_2)^{-1} = q_1 q_2 r q_2^{-1} q_1^{-1} = q_1 (q_2 r q_2^{-1}) q_1^{-1}$$

# Macierz rotacji dla kwaternionu



## Macierz rotacji

Rotacja kwaternionowa  $p' = qpq^{-1}$  (z  $q = q_0 + q_i\mathbf{i} + q_j\mathbf{j} + q_k\mathbf{k}$ ) może być przedstawiona w postaci  $p' = Rp$  gdzie  $R$  jest następującą macierzą rotacji:

$$R = \begin{bmatrix} 1 - 2s(q_j^2 + q_k^2) & 2s(q_iq_j + q_kq_0) & 2s(q_iq_k + q_jq_0) \\ 2s(q_iq_j + q_kq_0) & 1 - 2s(q_i^2 + q_k^2) & 2s(q_jq_k + q_iq_0) \\ 2s(q_iq_k + q_jq_0) & 2s(q_jq_k + q_iq_0) & 1 - 2s(q_i^2 + q_j^2) \end{bmatrix}$$

Gdzie  $s = \|q\|^{-2}$ , jeśli  $q$  jest kwaternionem jednostkowym  $s = 1$

# Interpolacja kwaternionów



Slerp

$$\text{Slerp}(q_0, q_1, t) = q_0 (q_0^{-1} q_1)^t \quad t \in 0, 1$$



## Funkcja dystansu

$$S^n = \{q \in \mathbb{R}^{n+1}, \|q\| = 1\}$$

$$d_3 : S^3 \times S^3 \rightarrow \mathbb{R}^+ \cup \{0\}$$

$$d_3(\mathbf{q}_1, \mathbf{q}_2) = 1 - (\mathbf{q}_1 \cdot \mathbf{q}_2)^2$$

# Wizualizacja



Animowana wizualizacja

<https://quaternions.online/>

# Porównanie reprezentacji obrotów



## Kąty Eulera (Kąty Tait–Bryana)

- Kolejność ma znaczenie
- Gimbal lock
- Interpolowanie orientacji jest trudne
- Składanie rotacji jest trudne

# Porównanie reprezentacji obrotów



## Macierze rotacji

- Brak intuicji
- Składanie orientacji jest proste, niemniej jednak podczas składnia wielu orientacji może być wymagana re-ortomalizacja macierzy
- Operacje macierzowe są efektywnie wykonywane przez CPU i GPU
- Interpolowanie orientacji jest trudne



# Porównanie reprezentacji obrotów



## Kwaterniony

- Koncept wydaje się matematycznie skomplikowany
- Prosta interpretacja geometryczna
- Interpolowanie orientacji jest proste
- Brak gimbal lock
- Proste składanie rotacji (mniej obliczeń w porównaniu z macierzami), łatwiejsze do normalizacji
- W prosty sposób przekształcana do macierzy rotacji